

## 19 Résumé et Conclusions

Dans la Région de Bruxelles-Capitale les teneurs en ozone dans l'air ambiant sont suivies en permanence depuis l'année 1986. L'été de 2006 se classe parmi les étés les plus chauds : le mois de juillet était très chaud (mois de juillet le plus chaud depuis le début des enregistrements), tandis que le mois d'août était plus froid que normal. Le nombre de dépassements des seuils de pollution en 2006 est assez élevé, mais reste inférieur au nombre constaté en 2003.

Dans la Région de Bruxelles-Capitale, la teneur en ozone dans l'air atmosphérique ambiant est mesurée dans sept postes de mesure du réseau téléométrique de la qualité de l'air : Molenbeek (R001), Ste-Catherine (B004), le Parlement Européen (B006), Berchem-Ste-Agathe (B011), Uccle (R012), Haren (N043) et Woluwé-St-Lambert (WOL1). Durant la période estivale de 2006 le poste B004 était hors service à cause de travaux d'aménagement dans la station de métro Ste-Catherine.

Les points de mesure de Molenbeek, Ste-Catherine, Haren et Woluwé sont plus ou moins situés à proximité d'axes importants de circulation. La qualité de l'air aux postes de mesure d'Uccle et de Berchem-Ste-Agathe est influencée dans une bien moindre mesure par la circulation. La situation de ces postes de mesure est donc optimale pour pouvoir évaluer la pollution photochimique dans la Région de Bruxelles-Capitale, notamment les concentrations élevées d'ozone.

Dans un environnement soumis à l'influence directe des émissions du trafic une partie de l'ozone disparaît très rapidement. En présence d'un excès de monoxyde d'azote, l'ozone est consommé par l'oxydation en  $\text{NO}_2$  d'une partie du NO présent.

Les oxydes d'azote et les substances organiques volatiles (COV) sont les principaux "précurseurs" dans le "processus de réaction" photochimique entraînant les augmentations des concentrations d'ozone. La teneur en oxydes d'azote ( $\text{NO}_x$ ), soit le monoxyde d'azote (NO) et le dioxyde d'azote ( $\text{NO}_2$ ), est mesurée dans 11 postes de mesure du réseau téléométrique de la surveillance de la qualité de l'air en Région de Bruxelles-Capitale : à Molenbeek, Ixelles (R002), Arts-Loi (B003), Ste-Catherine, Eastman-Belliard (B005), au Parlement Européen, Berchem-Ste-Agathe, Uccle, Haren, au parc Meudon (MEU1) et à Woluwé-St-Lambert.

Le réseau de mesure des substances organiques volatiles (COV) se compose actuellement de cinq postes de mesure. Quatre d'entre eux mesurent la pollution dans des situations urbaines typiques, mais différentes : à Molenbeek, Ixelles (Avenue de la Couronne), "Arts-Loi" et Woluwé-St-Lambert. Le cinquième poste de mesure, à Uccle, sert de poste de mesure de fond pour la Région de Bruxelles-Capitale.

## 19.1 Directive ozone 2002/3/CE

### 19.1.1 Valeur cible pour la protection de la Santé humaine

La directive ozone prévoit, comme *valeur cible pour la santé humaine*, qu'à partir de 2010 il ne pourra y avoir plus de 25 jours par année calendrier (moyenné sur 3 ans) où la **moyenne maximale sur 8 heures** de la journée aura été supérieure à **120 µg/m<sup>3</sup>**. La période 2010-2012 est la première période de trois ans pour laquelle la conformité doit être atteinte.

Au cours des années '90 il y a eu plusieurs années avec plus de 25 dépassements enregistrés. Les périodes estivales moins riches en ozone de 1996, 1998, 2000, 2002 et 2004 ont limité le dépassement du nombre de jours autorisés. D'autre part, deux périodes moyennement riches en ozone, ou un été très riche sur 3 ans, entraînent un dépassement de la valeur moyenne de 25 jours avec dépassement du seuil (voir figure 55 et le tableau à la page 109).

Le nombre moyen de jours de dépassement sur les 18 dernières années est égale à 26. La conformité avec la valeur cible à partir de l'an 2010 *ne peut pas être considérée* comme pouvant certainement être atteinte.

L'analyse des données des années précédentes (nombre de dépassements par mois) montre que ce sont surtout les conditions météorologiques de la période allant de fin juin à mi-août qui sont prépondérantes pour le respect ou non du nombre de jours avec dépassement autorisés. En fait le nombre de jours avec dépassement augmente pour toutes les valeurs seuil d'ozone en fonction de la qualité estivale pendant la période haute de l'été.

Pour pouvoir respecter, à partir de 2010, la valeur cible pour la santé humaine, une diminution sensible des concentrations moyennes en ozone est nécessaire. Ceci ne peut se faire que par une diminution des émissions des "précurseurs". Pour arriver à une diminution sensible de la formation d'ozone, les mesures à prendre devront être *draconiennes* (env. 50% de réduction), *à grande échelle* (Europe de l'Ouest) et *durables*. Par conséquent, une solution structurelle au problème de l'ozone demande du temps et des mesures qui parviennent à diminuer progressivement et de façon *durable* les émissions des précurseurs. Une solution durable ne sera pas possible avec des mesures trop limitées en ampleur, en espace ou dans le temps.

*L'objectif à long terme, plus aucun dépassement* du seuil de 120 µg/m<sup>3</sup> à partir de 2020, est, lui aussi, encore loin d'être atteint.

### 19.1.2 Valeur cible pour la protection de la végétation

A partir de l'an 2010 l'AOT40-MJ (période mai – juillet), calculé sur base des valeurs horaires entre 08.00 et 20.00 h, heure de l'Europe centrale, et moyenné sur 5 ans, ne pourra être supérieur à **18.000  $\mu\text{g}/\text{m}^3\cdot\text{h}$** .

Le graphique du dessous indique que cet objectif est actuellement respecté dans tous les postes de mesure la Région Bruxelles-Capitale. La valeur de l'AOT40-MJ de certaines périodes estivales, riches en ozone (2006, 2003, 1995, 1994, 1990 et 1989), peut néanmoins dépasser cette valeur (voir tableau IV.a à la page 25).

Des valeurs inférieures à l'objectif à long terme, à savoir  $6.000 \mu\text{g}/\text{m}^3\cdot\text{h}$ , sont pour l'instant loin d'être accessibles dans les postes de mesure d'Uccle et de Berchem-Ste-Agathe.

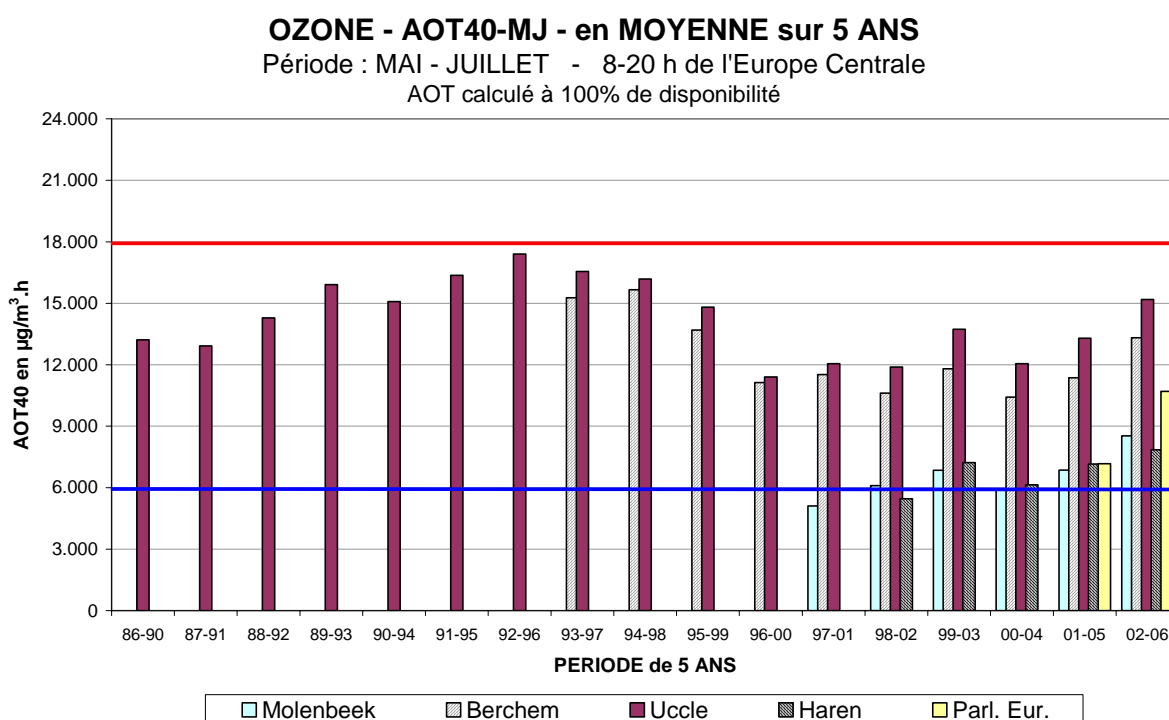


Fig. 54 : Évolution AOT40-MJ, moyenné sur 5 ans

AOT-MJ : AOT pour la période mai - juillet de 8 à 20 h de l'Europe centrale  
AOT calculé à 100% de disponibilité des résultats

### 19.1.3 Seuil d'information et seuil d'alerte

Le dépassement du *seuil d'information* de la population, à savoir **180 µg/m<sup>3</sup>** en tant que **valeur horaire**, a été atteint **neuf (9) jours** différents durant la période de « *mai à août 2006* » dans la Région de Bruxelles-Capitale : le vendredi 9 juin, le vendredi 30 juin, le samedi 1<sup>er</sup> juillet, le mardi 4 juillet, le jeudi 13 juillet, le mardi 18 juillet, le mercredi 19 juillet, le mardi 25 juillet et le mercredi 26 juillet. Des périodes estivales avec un nombre comparable de dépassement étaient les périodes estivales de 1994 (13 jours) et 2003 (12).

Pendant l'été 2006 le *seuil d'alerte*, à savoir **240 µg/m<sup>3</sup>** en tant que **valeur horaire** a été dépassé **un jour** en Région de Bruxelles-Capitale : le mercredi 26 juillet. D'autres dépassements de ce seuil ont seulement été constatés durant les étés riches en ozone de 2003 (2 jours), 1989 (3 jours), 1995 (3 jours) et 1994 (2 jours).

### 19.1.4 Aperçu du nombre de dépassements

Le graphique ci-dessous donne un aperçu de l'évolution du *seuil d'information* (180 µg/m<sup>3</sup> comme valeur horaire) et de *la valeur cible* (120 µg/m<sup>3</sup> comme valeur maximale sur 8 heures de la journée) pour la *protection de la santé humaine*, figurant dans la **directive** sur l'**O<sub>3</sub> 2002/3/CE**.

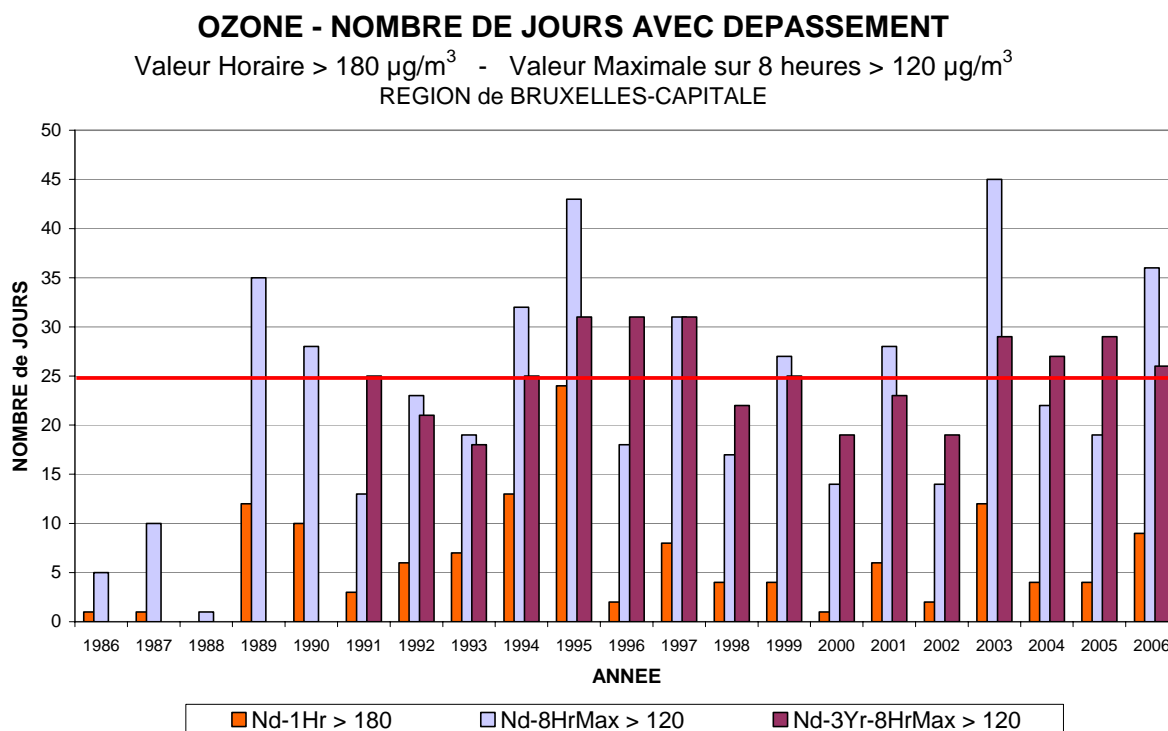


Fig. 55 : Ozone : nombre de jours avec dépassements en Région de Bruxelles-Capitale  
Nombre de jours avec des valeurs horaires supérieures à 180 µg/m<sup>3</sup> et des valeurs maximales sur 8 heures supérieures à 120 µg/m<sup>3</sup> (par an et moyenné sur 3 ans)

Périodes annuelles : 1 janvier – 31 décembre (1986 – 2005)  
Données partielles pour l'année 2006 (1<sup>er</sup> janvier – 30 septembre)

Le tableau suivant donne un aperçu de l'évolution du nombre de dépassements du seuil d'information ( $180 \mu\text{g}/\text{m}^3$  comme valeur horaire), du seuil d'alerte ( $240 \mu\text{g}/\text{m}^3$  comme valeur horaire) et de la valeur cible ( $120 \mu\text{g}/\text{m}^3$  comme valeur maximale sur 8 heures de la journée) pour la protection de la santé humaine, figurant dans la **directive** sur l'**O<sub>3</sub> 2002/3/CE**.

Le tableau indique, par année civile, le "nombre de jours [Nd] avec dépassement" des différents seuils. Il s'agit du nombre de jours où au moins un des postes de mesure de la Région est en situation de dépassement :

**Nombre de jours avec :**

- valeurs horaires supérieures à  $180 \mu\text{g}/\text{m}^3$  [Nd\_1Hr > 180]
- valeurs horaires supérieures à  $240 \mu\text{g}/\text{m}^3$  [Nd\_1Hr > 240]
- valeur maximale sur 8 heures supérieure à  $120 \mu\text{g}/\text{m}^3$  [Nd\_8HrMax > 120]
- valeur max. sur 8h.  $> 120 \mu\text{g}/\text{m}^3$ , moyenné sur 3 ans [Nd\_3Yr\_8HrMax > 120]

**OZONE : Nombre de jours avec dépassement dans la Région**

**PÉRIODE ANNUELLE** : 1 JANVIER – 31 DECEMBRE (1986 – 2005)

[Données partielles pour la période "2006" : 1<sup>er</sup> janvier – 30 septembre]

	Nd_1Hr > 180	Nd_1Hr > 240	Nd_8HrMax > 120	Nd_3Yr_8HrMax > 120
1986	1	0	5	
1987	1	0	10	
1988	0	0	1	
1989	12	3	35	
1990	10	0	28	
1991	3	0	13	25
1992	6	0	23	21
1993	7	1	19	18
1994	13	2	32	25
1995	24	3	43	31
1996	2	0	18	31
1997	8	0	31	31
1998	4	0	17	22
1999	4	0	27	25
2000	1	0	14	19
2001	6	0	28	23
2002	2	0	14	19
2003	12	2	45	29
2004	4	0	22	27
2005	4	0	19	29
[2006]	[9]	[1]	[36]	[26]

## **19.2 Valeurs limites pour le Dioxyde d'azote**

Selon la directive 1999/30/CE, transposée dans un arrêté de la Région de Bruxelles-Capitale (28 juin 2001), concernant *les valeurs limites* pour  $SO_2$ ,  $NO_2$  et  $NO_x$ , les *particules en suspension* et *le plomb*, il ne peut y avoir pendant une année calendrier entière plus de **18 périodes horaires** avec une concentration en  $NO_2$  supérieure à **200  $\mu g/m^3$** . Bien que cette condition ne devra être satisfaite qu'à partir du 1<sup>er</sup> janvier 2010, elle ne pose plus de problème à l'heure actuelle.

Pour les jours de concentrations élevées en ozone, on observe aux postes de mesure à proximité du trafic (p.ex. à "Arts-Loi"), une augmentation des concentrations en  $NO_2$  dans le courant de l'après-midi. L'ozone présent dans l'air ambiant y oxyde une partie du monoxyde d'azote (NO), en provenance des gaz d'échappement, en dioxyde d'azote ( $NO_2$ ). Aux endroits proches du trafic, l'activité photochimique, qui conduit normalement à la formation des concentrations d'ozone élevées, donne lieu à des concentrations plus élevées en  $NO_2$ . Durant l'été, des concentrations élevées en  $NO_2$  au poste de mesure « Arts-Loi » sont symptomatiques de l'activité photochimique.

Durant les étés riches en ozone (1994, 1995) et exceptionnellement chauds (2003) ce phénomène (de l'ozone caché) fait augmenter la concentration moyenne annuelle en  $NO_2$  de quelques unités aux postes de mesures situés à proximité du trafic. Ceci complique le respect de la valeur limite imposée pour la moyenne annuelle.

La directive impose en effet une valeur limite de **40  $\mu g/m^3$**  de  $NO_2$ , en tant que **valeur moyenne annuelle**. Cette condition est beaucoup plus sévère que la valeur guide (50  $\mu g/m^3$  de  $NO_2$  en tant que 50<sup>ème</sup> centile) de l'ancienne directive. Ce critère ne devra être respecté qu'à partir de l'an 2010. Pour l'année 2000 la marge de tolérance était de 50%. Cette marge doit diminuer linéairement pour atteindre 0 en 2010. La valeur moyenne annuelle de 2006 est à comparer à **48  $\mu g/m^3$**  (valeur limite + marge de tolérance).

Ce critère est actuellement respecté dans tous les postes de mesure de la Région, à l'exception du poste de mesure "Arts-Loi" (voir remarque) et du poste situé à l'Avenue de la Couronne à Ixelles, une « *canyon street* », où les concentrations moyennes de la période *janvier - septembre 2006* s'élèvent respectivement à 99 et 54  $\mu g/m^3$ . Pour la même période, la concentration moyenne à Molenbeek et Woluwé est égale à 48  $\mu g/m^3$ .

Le respect de la valeur de 40  $\mu g/m^3$  en 2010 *n'est pas encore garanti* aux endroits à proximité du trafic, situés dans les grandes agglomérations.

**Remarque** : Le poste de mesure « Arts-Loi », situé au cœur du carrefour, n'est pas représentatif du niveau général de la pollution de l'air en Région de Bruxelles-Capitale. Pour être pris en considération pour l'évaluation des objectifs de la qualité de l'air, les postes de mesures doivent être éloignés d'au moins 25 mètres des carrefours. L'air échantillonné dans le carrefour est trop directement influencé par les gaz d'échappement des véhicules. Pourtant ce point de mesure a été choisi intentionnellement en fonction de l'étude de la relation entre la pollution de l'air et la circulation. Depuis plusieurs années ce poste de mesure livre des données fort intéressantes qui ont été prises en compte par le groupe technique chargé de la préparation de la directive  $NO_2$  au sein de la CE.

### 19.3 Influence de la formation et de la destruction d’ozone sur sa concentration

Les concentrations d'ozone sont toujours le résultat de deux processus simultanés mais antagonistes : la formation d'ozone et la destruction d'ozone.

La formation d'ozone est initiée par la photodissociation du  $\text{NO}_2$  présent:

$\text{NO}_2 + h\nu \rightarrow \text{NO} + \text{O}$ . L'oxygène atomique réagit avec une molécule d'oxygène jusqu'à la formation d'ozone :  $\text{O} + \text{O}_2 \rightarrow \text{O}_3$ . Le rôle des substances organiques volatiles consiste en ce que le NO présent s'oxyde en  $\text{NO}_2$  par un mécanisme réactionnel complexe entraînant une nouvelle formation d'ozone. Ainsi apparaît un processus en chaîne permettant une production de plus en plus importante d'ozone.

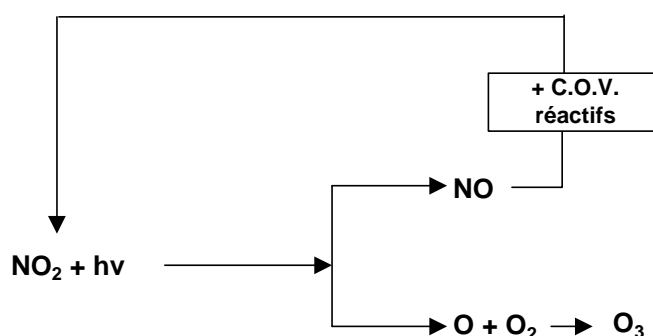


Fig. 56 : formation excessive d'ozone (schéma simplifié)

La principale réaction de la destruction d'ozone dans les villes est la réaction directe avec le NO :  $\text{O}_3 + \text{NO} \rightarrow \text{O}_2 + \text{NO}_2$ . En l'absence de substances organiques, il y aurait un *équilibre dynamique* entre la *formation* et la *destruction* d'ozone. La présence de substances organiques réactives perturbe cet équilibre et entraîne, dans certaines conditions météorologiques, une formation excessive d'ozone.

Le processus de formation photochimique est influencé par une série de facteurs qui sont surtout liés à la situation météorologique : intensité du rayonnement UV, température, stabilité des couches d'air, nébulosité, pression atmosphérique, hygrométrie, angle d'incidence du rayonnement solaire et durée du jour.

Lors d'un “*épisode de pollution estivale*”, les principaux paramètres déterminant l'apparition du processus de réaction photochimique complexe sont un rayonnement solaire intense (intensité du *rayonnement UV*) et des températures élevées. Dans un mélange d'air déjà suffisamment enrichi par des polluants primaires tels que les oxydes d'azote et les substances organiques volatiles, apparaît un excès d'ozone.

Le processus de formation d'ozone seul entraînerait peut-être une concentration d'ozone pratiquement homogène au-dessus de la région. A l'exception du dimanche sans « voiture » (voir annexe) la distribution spatiale de la concentration d'ozone n'est toutefois pas homogène, en raison surtout de la destruction d'ozone qui peut varier fortement d'un endroit à l'autre.

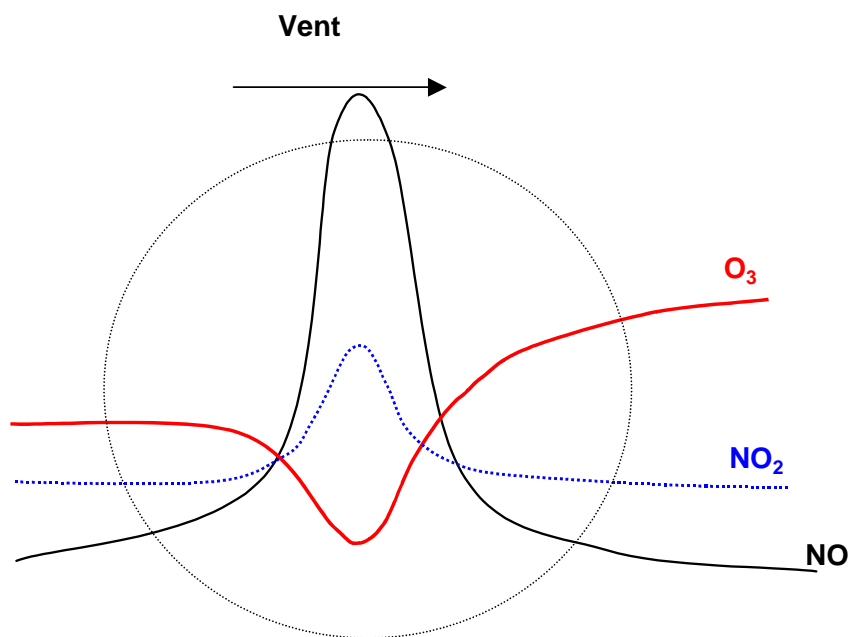


Fig. 57 : Destruction de l'ozone au centre-ville par l'excès de NO provenant du trafic.  
Formation d'ozone plus importante en périphérie et en aval des grandes villes.

Cette dualité explique la difficulté d'évaluer correctement la problématique de l'ozone et de prendre des mesures adéquates. En effet, le principal polluant pour la destruction d'ozone, le NO, appartient également au groupe des polluants responsables de la formation d'ozone. Les mesures de réduction des émissions influencent donc aussi bien le mécanisme de formation que de destruction d'ozone.

Dans cette optique, il faut être bien conscient qu'en imposant des limitations temporaires de la circulation quand on atteint une concentration élevée d'ozone, cela pourrait conduire, dans la zone d'émissions, à une augmentation plutôt qu'à une diminution des concentrations d'ozone. On obtiendrait ainsi l'effet inverse de celui désiré.

Généralement on admet qu'une diminution de la pollution par l'ozone ne peut intervenir qu'à condition que les réductions d'émission des précurseurs soient réalisées de manière *draconienne* (min. 50 à 60%), *à grande échelle* (une partie de l'Europe de l'Ouest) et de façon *durable dans le temps*.

Une indication de l'augmentation éventuelle de la concentration d'ozone, lors d'une réduction brusque et temporaire des émissions, est la différence marquée de la concentration d'ozone un "jour ouvrable moyen" par rapport à un "un jour de week-end ou un jour férié moyen". Tout comme pour les étés précédents (1994 à 2005), les concentrations d'ozone pendant l'été 2006 ont été, en moyenne, plus élevées les jours non ouvrables, que les jours ouvrables.

Les concentrations relativement élevées en ozone les dimanche sans « voiture » et la distribution spatiale plus égalisée à ces jours sans trafic (un dimanche en septembre 2002, 2003, 2004, 2005 et 2006 – voir annexe) sont une autre indication qu'il faut se rendre bien compte de la réalité physico-chimique en élaborant d'éventuelles mesures en la matière.

De nouveau, il apparaît que cette différence n'est pas due à la situation météorologique qui serait significativement différente les jours ouvrables et les jours non ouvrables. Le peu de différence entre les conditions météorologiques des jours ouvrables et des jours non ouvrables, ne peut expliquer la différence dans les concentrations moyennes en ozone. L'hypothèse la plus probable pour expliquer cette différence provient du changement du modèle d'émission (situation du trafic) les jours ouvrables et non ouvrables.

Les week-ends et jours fériés les émissions sont plus faibles, il y a moins de NO présent (principalement originaire du trafic) dans l'air, donc la destruction de l'ozone est moins importante. Si cette hypothèse est correcte, cette différence devra également être constatée à proximité des autres zones d'émission (autres grandes villes), mais pas ou beaucoup moins, dans les endroits moins fréquentés (postes de mesure de fond).

Dans ses rapports d'été l'AEE (Agence Européenne d'Environnement) consacre un chapitre à ce phénomène de « week-end ». Il apparaît que l'on peut constater dans la plupart des postes de mesure des 25 pays de la CE une différence marquée en concentration d'ozone le week-end et les jours ouvrables.

Les figures 58, 59 et 60 reproduisent, pour trois postes de mesure différents, l'évolution journalière moyenne (*tous les jours*), respectivement pour l'ozone, le dioxyde d'azote et la somme des deux [ $O_3 + NO_2$ ], exprimées en quantités équivalentes d'ozone. Les postes de mesures d'Uccle et de Berchem sont moins exposés au trafic et le profil journalier d'ozone atteint un niveau plus élevé qu'à Haren (fig. 58). Le surplus du NO, provenant du trafic, est responsable d'une destruction plus importante d' $O_3$  à Haren.

Le profil journalier du dioxyde d'azote est tout à fait complémentaire au profil journalier de l'ozone. Le graphique de la figure 59 montre que les niveaux les plus élevés en  $NO_2$  se présentent à Haren : une partie du NO, plus présent à cet endroit, est oxydée par l'ozone en  $NO_2$ . L'aspect complémentaire de ces deux profils est clairement illustré à la figure 60, reprenant le profil journalier de la somme [ $O_3 + NO_2$ ].

Ce phénomène observé en différents endroits, autrement influencés par le trafic, s'observe également à chaque endroit, pour des périodes où la circulation est différente. Les graphiques de la figure 61 représentent, respectivement pour les postes d'Uccle et de Haren, le profil journalier d'ozone, calculé pour la situation des *jours ouvrables* et les *jours non ouvrables*. Les concentrations en ozone sont en moyenne plus élevées les jours non ouvrables et en moyenne plus faibles les jours ouvrables. Les différences sont plus flagrantes au postes de mesure situé à proximité de la circulation (Haren). Les week-end et les jours fériés, la circulation est globalement moins intense. Etant donné qu'il y a moins de NO présent, il y a moins d'ozone détruit.

La figure 62 reproduit l'évolution journalière moyenne de la somme [ $O_3 + NO_2$ ], exprimée en quantités équivalentes d'ozone. L'aspect complémentaire entre le profil  $O_3$  et  $NO_2$  se manifeste tant entre postes de mesure qu'entre jours ouvrables et jours non ouvrables.

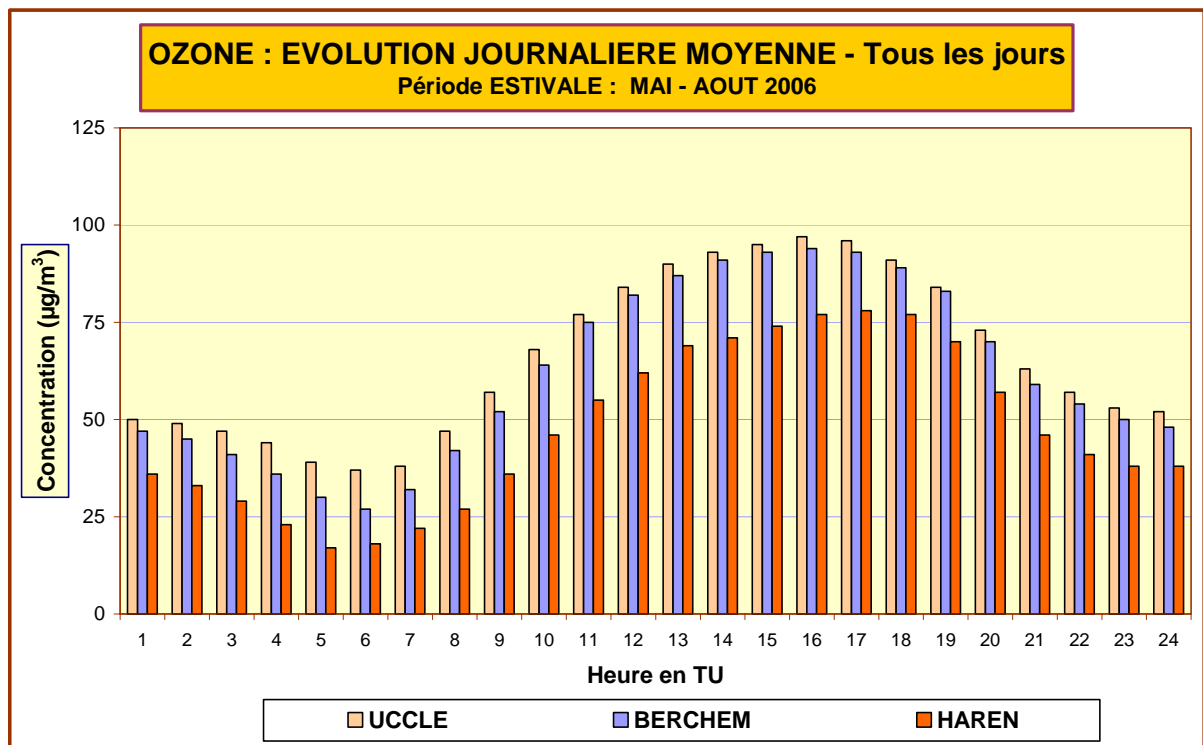


Fig. 58 : Ozone - Évolution journalière moyenne – Comparaison entre 3 postes de mesure  
Période « mai – août 2006 »

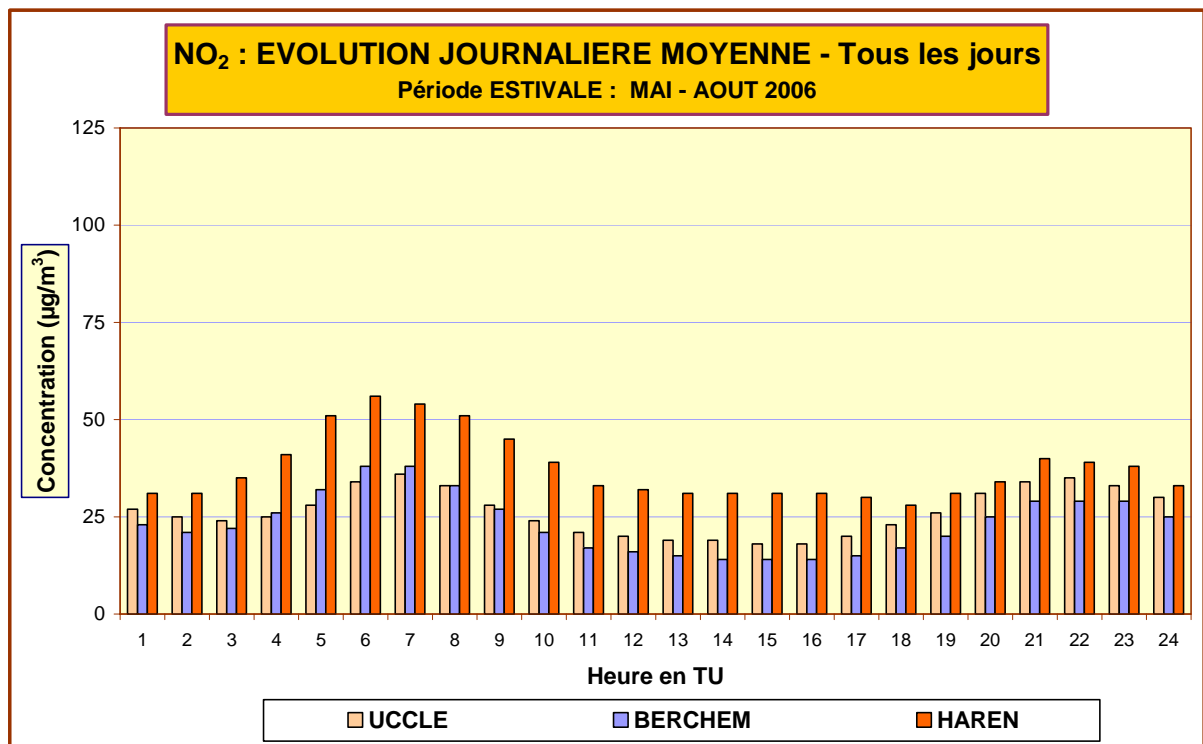


Fig. 59 : NO<sub>2</sub> - Évolution journalière moyenne – Comparaison entre 3 postes de mesure  
Période « mai – août 2006 »

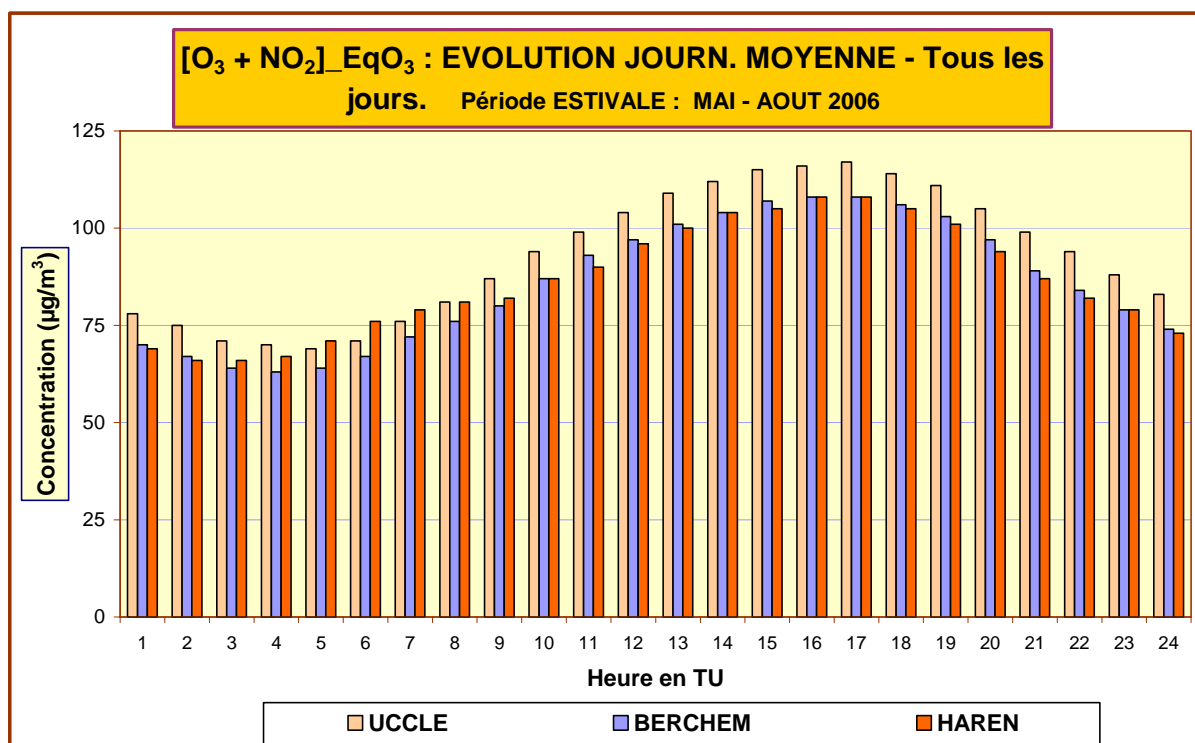
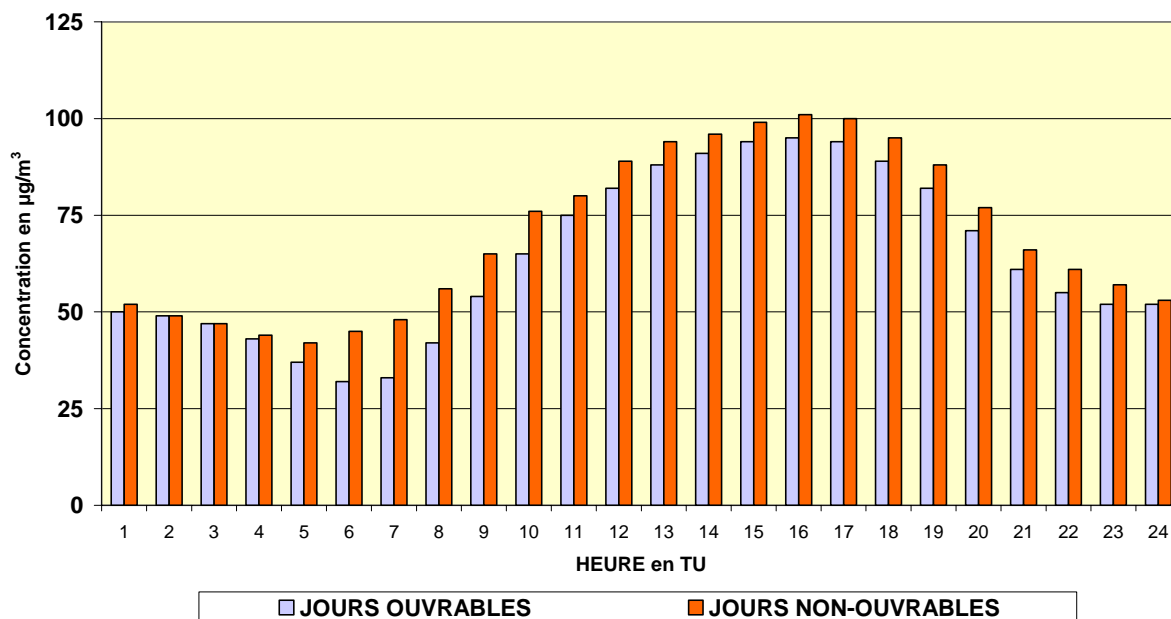


Fig. 60 : [O<sub>3</sub> + NO<sub>2</sub>] - Évolution journalière moyenne – Comparaison entre 3 postes de mesure Période « mai – août 2006 »

**OZONE - UCCLE - EVOLUTION JOURNALIERE MOYENNE**  
**JOURS OUVRABLES ET NON-OUVRABLES**  
 PERIODE ESTIVALE : MAI - AOÛT 2006



**OZONE - HAREN - EVOLUTION JOURNALIERE MOYENNE**  
**JOURS OUVRABLES ET NON-OUVRABLES**  
 PERIODE ESTIVALE : MAI - AOÛT 2006

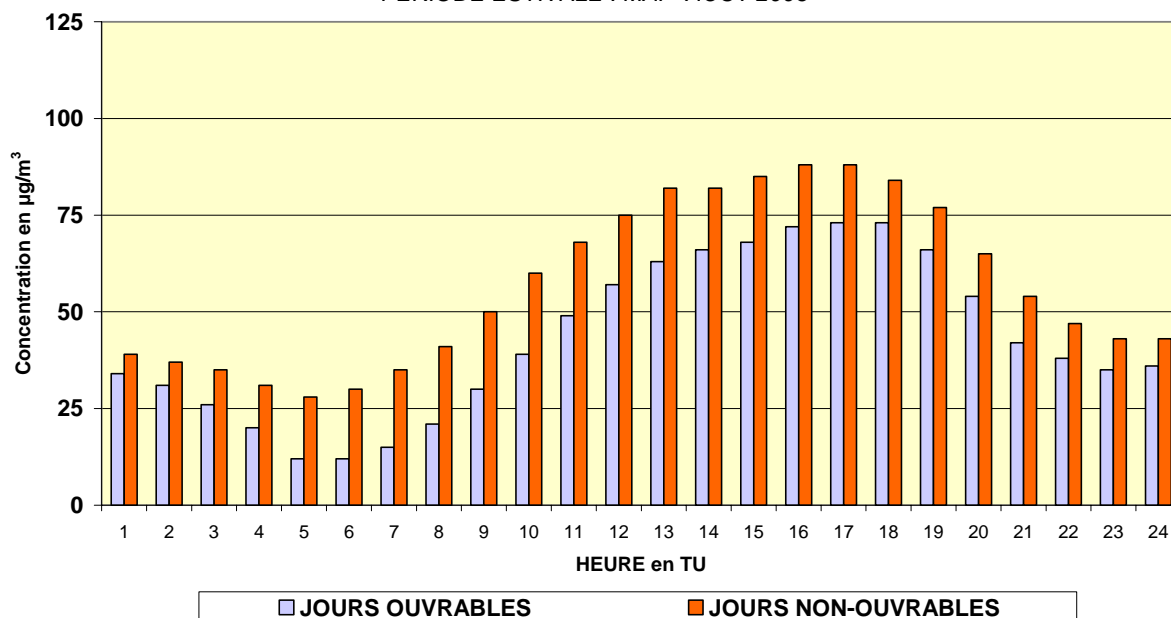
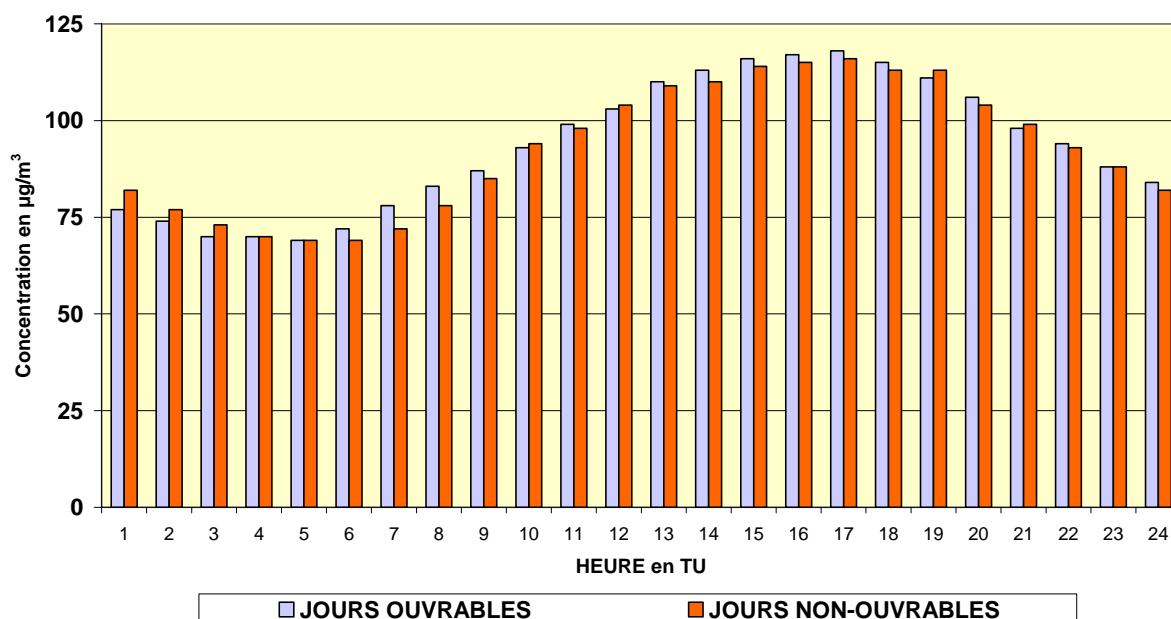


Fig. 61 : Ozone - Évolution journalière moyenne les jours ouvrables et les jours non ouvrables  
 Postes de mesure d'Uccle et Haren (trafic) - Période « mai – août 2006 »

**[O<sub>3</sub> + NO<sub>2</sub>] - UCCLE - EVOLUTION JOURNALIERE MOYENNE**  
**JOURS OUVRABLES ET NON-OUVRABLES**  
 PERIODE ESTIVALE : MAI - AOUT 2006



**[O<sub>3</sub> + NO<sub>2</sub>] - HAREN - EVOLUTION JOURNALIERE MOYENNE**  
**JOURS OUVRABLES ET NON-OUVRABLES**  
 PERIODE ESTIVALE : MAI - AOUT 2006

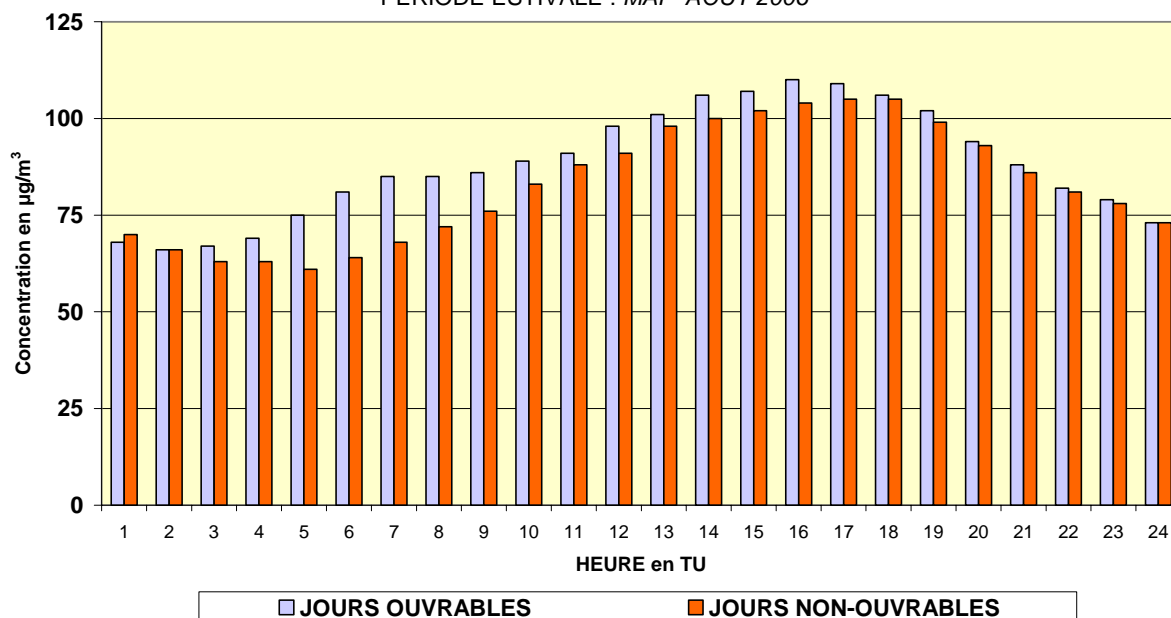


Fig. 62 : [O<sub>3</sub> + NO<sub>2</sub>] - Évolution journalière moyenne les jours ouvrables et les jours non ouvrables Postes de mesure d'Uccle et Haren (trafic) - Période « mai – août 2006 »

## 19.4 Évolution à long terme

Les rapports de l'UE sur l'ozone font apparaître, d'une part une légère tendance à l'augmentation des concentrations moyennes d'ozone et d'autre part une diminution du nombre de pics de concentration.

Le premier constat se vérifie en Région de Bruxelles-Capitale déjà depuis quelques années. Les figures 63 et 64 (à la page 119) montrent en effet une légère tendance à l'augmentation de la concentration moyenne d'ozone. Sur base des résultats de l'été 2003 exceptionnellement chaud, le deuxième constat se confirme également. On constate effectivement des dépassements moins fréquents de la limite de la valeur horaire que pendant les autres périodes estivales chaudes, fussent-elles de caractère moins exceptionnel. Cette diminution peut être constatée depuis quelques années dans les postes de mesure les plus continentaux. De par la situation géographique de Bruxelles, relativement proche de la mer du Nord, le climat y est moins stable qu'à l'intérieur des terres. Il fallait donc bien attendre une période estivale chaude durable pour pouvoir se former une image claire qui puisse être comparée aux autres étés chauds (1995, 1994, 1990 et 1989).

L'augmentation de la concentration moyenne d'ozone est probablement liée à une diminution des concentrations de NO<sub>x</sub> (voir figure 65 à la page 120), consécutive à la baisse des émissions. Cette baisse se traduit surtout par une diminution des concentrations de NO, et pas (encore) par une diminution des concentrations de NO<sub>2</sub> (voir figure 66). Dans les postes de mesure à forte influence du trafic, comme Ixelles (Avenue de la Couronne) et Arts-Loi, les niveaux de concentrations du NO, CO et composés organiques volatils ont baissé à peu près de moitié depuis le début des années '90. L'évolution des concentrations de NO<sub>2</sub> ne montre pas encore de tendance claire. Les émissions de NO devront encore diminuer de façon draconienne avant que, suite à l'oxydation d'une partie de NO en NO<sub>2</sub>, une diminution des concentrations ambiantes de NO<sub>2</sub> puisse être constatée.

Comme il y a moins de NO présent dans l'air ambiant, la destruction de l'ozone diminue, ce qui entraîne une augmentation de la concentration moyenne d'ozone. La réduction des émissions des précurseurs, NO<sub>x</sub> et COV, a cependant déjà conduit à une diminution de la formation d'ozone au niveau du nombre de pics de concentration. Ceci se manifeste principalement lors des circonstances exceptionnellement favorables à la formation excessive d'ozone qui induisent les pics de concentration. Une diminution supplémentaire, draconienne et à grande échelle, des émissions futures sera nécessaire pour amorcer une diminution de la concentration moyenne d'ozone.

**OZONE à UCCLE (R012) - EVOLUTION dans le TEMPS**  
**DISTRIBUTION DES FREQUENCES CUMULEES - VALEURS HORAIRES**  
 Période Estivale "AVRIL - SEPTEMBRE"

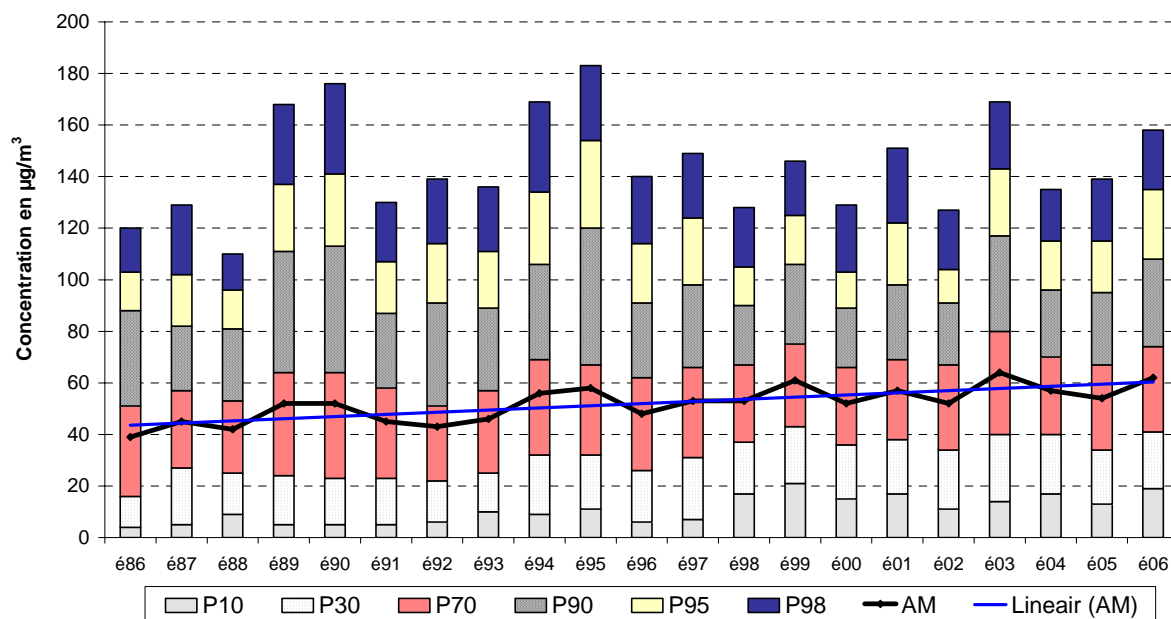


Fig. 63 : Ozone à Uccle – Valeurs horaires – évolution à long terme  
 Périodes estivales 1986 – 2006

**OZONE à BERCHEM-Ste-Agathe (B011) - EVOLUTION dans le TEMPS**  
**DISTRIBUTION DES FREQUENCES CUMULEES - VALEURS HORAIRES**  
 Période Estivale "AVRIL - SEPTEMBRE"

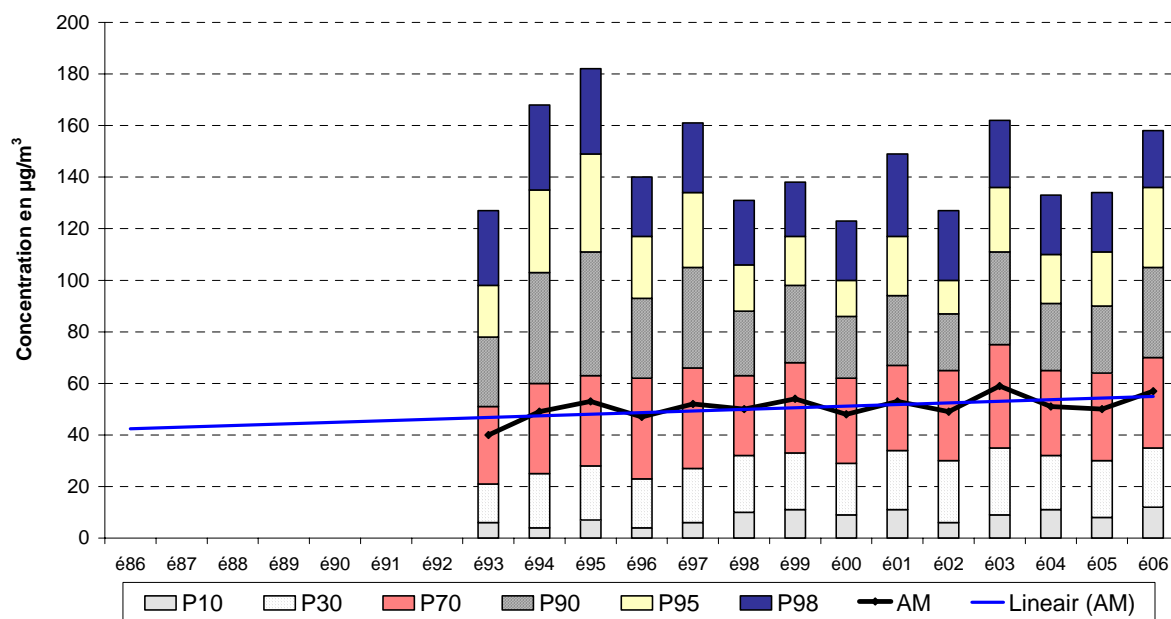


Fig. 64 : Ozone à Berchem-Ste-Agathe – Valeurs horaires – évolution à long terme  
 Périodes estivales 1993 – 2006

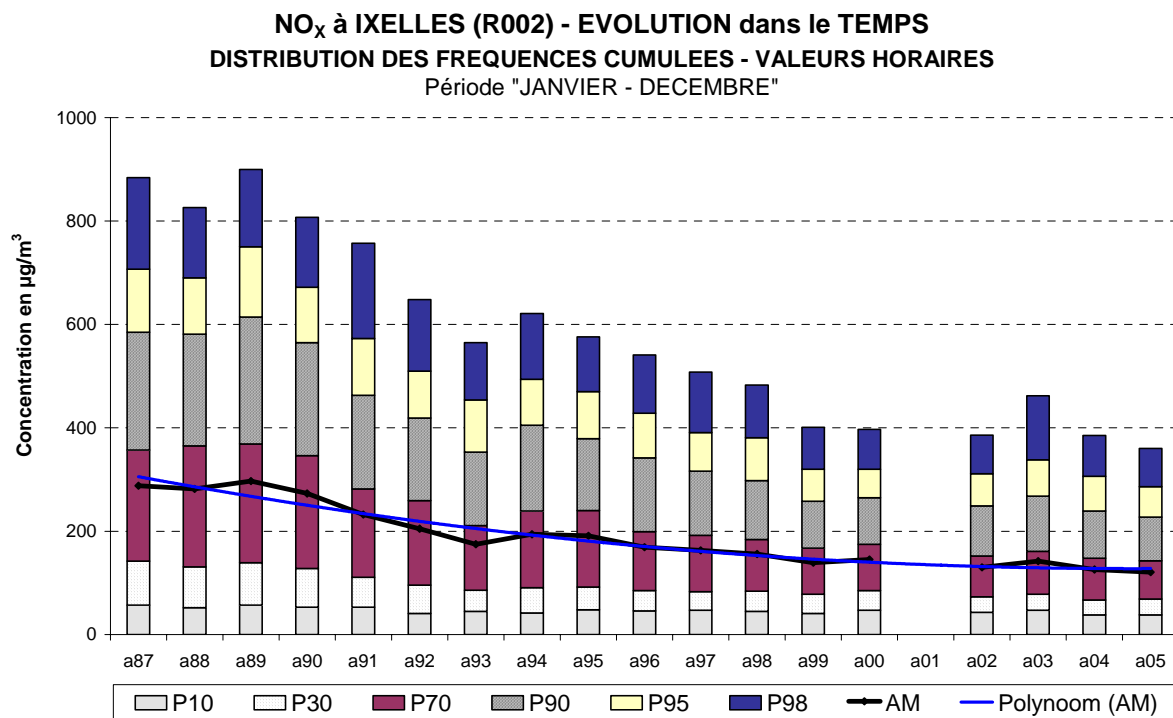


Fig. 65 : NO<sub>x</sub> à Ixelles - Avenue de la Couronne (*canyon street*) – Valeurs horaires  
Évolution à long terme - Périodes annuelles 1987-2005

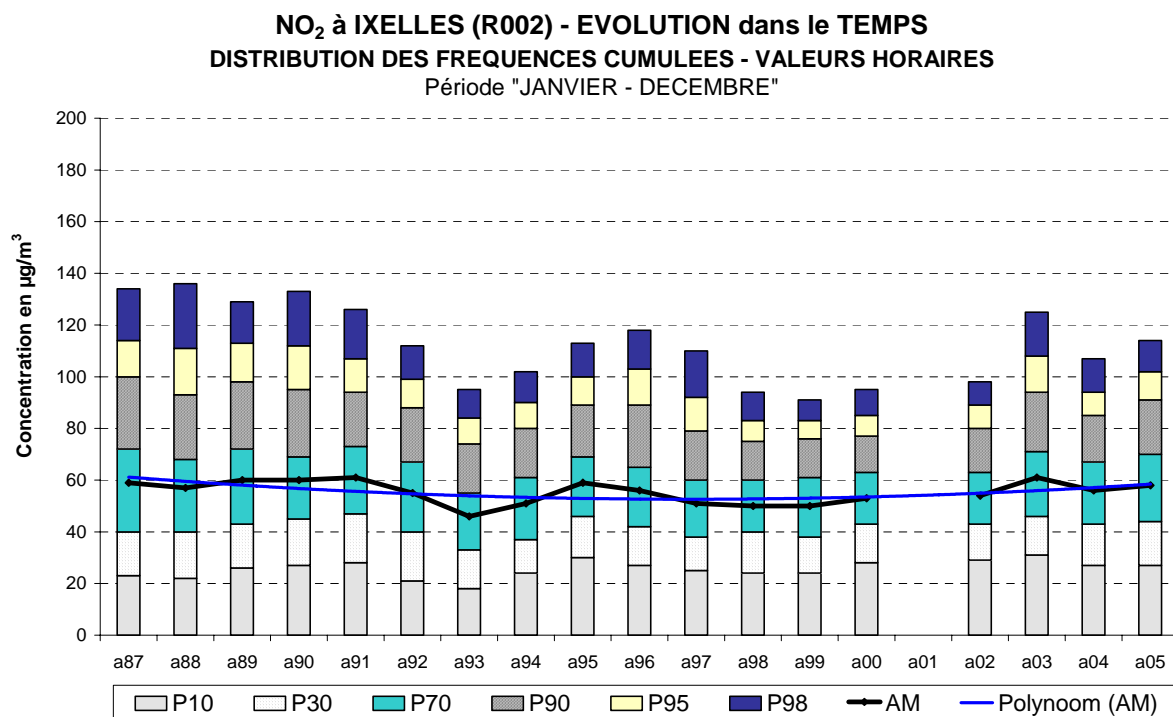


Fig. 66 : NO<sub>2</sub> à Ixelles - Avenue de la Couronne (*canyon street*) – Valeurs horaires  
Évolution à long terme - Périodes annuelles 1987-2005

## **TABLE des MATIÈRES**

1. Transparence Air – Information destinée au public	1
2. Réseau de contrôle de la Qualité de l’Air	2
3. La Pollution de l’Air en période estivale	4
4. Détermination de l’ozone et validation des données	7
5. Détermination de la teneur en oxydes d’azote	9
6. Détermination des composés organiques volatils (COV)	11
7. Concentrations en O <sub>3</sub> , NO <sub>2</sub> et C.O.V. durant l’été 2006	12
8. Normes pour l’ozone – Directive 2002/3/CE	17
9. Dépassements des seuils pour l’ozone selon la directive 2002/3/CE	21
9.1 Valeur cible pour la santé publique – 120 µg/m <sup>3</sup> - valeur maximale sur 8 heures	21
9.2 Valeur cible pour la végétation – AOT40-MJ – 18.000 µg/m <sup>3</sup> .h	24
9.3 Seuil d’information – 180 µg/m <sup>3</sup> – valeur horaire	33
9.4 Seuil d’alerte – 240 µg/m <sup>3</sup> – valeur horaire	38
9.5 Aperçu des dépassements sur base annuelle	41
9.6 Évolution valeur max. horaire, max. sur 8-heures et journalière	43
9.6 AOT60 (8HrMax)	46
10. Dépassements des seuils pour l’ozone selon l’ancienne directive	48
11. Valeurs Limites pour NO <sub>2</sub>	51
11.1 Directive 1999/30/CE sur le SO <sub>2</sub> , NO <sub>2</sub> , Pb et PM10	51
11.2 Ancienne directive NO <sub>2</sub> [85/580/CE]	52
12. Dépassements pour le NO <sub>2</sub>	53
12.1 Valeur horaire pour le NO <sub>2</sub>	53
12.2 Valeur moyenne annuelle en NO <sub>2</sub>	56
13. Évolution Benzène	61
13.1 Réglementation benzène	61
13.2 Évolution de la concentration moyenne annuelle	61
13.3 Réseau de mesure pour le benzène	64

14. Distribution des fréquences cumulées : O <sub>3</sub> et NO <sub>2</sub>	66
15. Concentration d'ozone en fonction de la température, vitesse et direction de vent	78
16 L'ozone les Week-end et Jours Fériés	83
17. Évolution hebdomadaire moyenne	95
18. Calcul de l'indice de la Qualité de l'Air	99
18.1 Indice général de la qualité de l'air	99
18.2 Indice de qualité dans une situation à trafic dense	102
19. Résumé et Conclusions	105
19.1 Directive ozone 2002/3/CE	106
19.2 Valeurs limites pour le Dioxyde d'azote	110
19.3 Influence de la formation et de la destruction d'ozone sur sa concentration	111
19.4 Évolution à long terme	118

Annexe « Résultats d'une Journée sans voiture »